

УДК 621.395

Е.П. Кузнецов

МНОГОСКОРОСТНОЙ АДАПТИВНЫЙ ЭХО-КОМПЕНСАТОР С КОМБИНИРОВАННЫМ АЛГОРИТМОМ АДАПТАЦИИ

Рассмотрены особенности использования банков фильтров (БФ) с не-максимальной децимацией ($\text{БФ}_{\text{НМ}}$) и неравномерным разбиением на каналы в схеме многоскоростного адаптивного эхо-компенсатора (МАЭК). Предложен новый метод реализации МАЭК с применением комбинированного алгоритма адаптации, позволяющего снизить вычислительные затраты без потери эффективности функционирования.

Введение. Решение задачи идентификации динамической системы, имеющей протяженную импульсную характеристику (ИХ), в классе КИХ-цепей сопряжено с построением адаптивного цифрового фильтра (АЦФ) довольно большого порядка. Практическим примером подобной задачи является задача акустической эхо-компенсации, возникающая в таких технических приложениях, как проводная и беспроводная телефония, высокоскоростная передача данных и системы телеконференций. В этом случае ИХ идентифицируемой системы (эхо-тракта) имеет длительность 50÷200 мс, и для качественной работы адаптивного эхо-компенсатора (ЭК) требуется реализация АЦФ, имеющего порядок 400÷1600 (при условии, что система работает на частоте дискретизации 8 кГц). Очевидно, что это не приемлемо для применения на практике и требует поиска альтернативных решений. Эффективным подходом к решению задачи адаптивной эхо-компенсации при протяженной ИХ эхо-тракта является совместное использование двух подходов: многоскоростной обработки сигналов и субполосной адаптивной фильтрации, что позволяет добиться снижения вычислительных затрат.

Работа сформирована в качестве слушательской на кафедре [1].

Следующих операций: разбиение спектров входного и обучающего сигналов на субполосы и децимацию исходной частоты дискретизации (ЧД) с помощью двух БФ анализа, адаптивную фильтрацию в каждой субполосе на пониженной ЧД с использованием определенного алгоритма адаптации, интерполяцию ЧД и, наконец, восстановление субполосных составляющих с помощью БФ синтеза с последующим объединением субполосных каналов. При этом возникает вопрос о выборе БФ, наи-

лучшим образом подходящего для решения рассматриваемой задачи.

Поскольку вопросы использования БФ с максимальной децимацией ($\text{БФ}_{\text{М}}$) в задаче акустической эхо-компенсации подробно рассмотрены в работе [3], в данной статье рассматриваются БФ_{НМ} с неравномерным разбиением на каналы. Такие БФ, реализуемые на основе метода, изложенного в [4], хорошо подходят для использования в данной задаче, поскольку характеризуются малым перекрытием соседних субполосных каналов (элайзингом), сравнительной простотой расчета и гибкостью реализации различных форм субполосного разбиения. настоящей работы является исследование особенностей БФ_{НМ} с неравномерным разбиением на субполосы для построения МАЭК, а также демонстрация эффективности использования нового подхода на базе комбинированного алгоритма адаптации.

Экспериментальные исследования. При использовании БФ_{НМ} с неравномерным разбиением на каналы возникает вопрос о выборе конкретного способа разбиения амплитудно-частотной характеристики (АЧХ) анализируемого эхо-тракта на субполосы, дающего наилучший эффект по качеству подавления. При рассмотрении задачи акустической эхо-компенсации предполагают, что входным для МАЭК является речевой сигнал. Особенностью этого сигнала является то, что его основная энергия сосредоточена в области низких частот, а остальная, меньшая ее часть – в некоторых областях частот, называемых формантными.

Таким образом, для достижения высокого уровня подавления эхо-сигнала нужно, чтобы первый канал МАЭК охватывал область до 0,3 – 0,4 по шкале нормализованных частот $f_H = 2f / f_{KB}$, где f_{KB} – частота дискретизации. Требования к остальным каналам являются

варьируемыми, но следует понимать, что выбор коэффициента децимации i -го субполосного канала M_i будет влиять на вычислительные затраты и, как следствие, на эффективность работы МАЭК в целом.

Проверим высказанные предположения на практике. Для экспериментов возьмем шестиканальные БФ_{НМ}, которые различным образом осуществляют субполосное разбиение: 6-БФ_{НМ}^{НЧ} детализирует область низких частот, 6-БФ_{НМ}^{СЧ} – область средних и 6-БФ_{НМ}^{ВЧ} детализирует область высоких частот. При этом вычислительные затраты на реализацию каждого из анализируемых БФ_{НМ} одинаковы. В качестве акустического эхо-тракта используем типовую модель с ИХ протяженностью $N = 512$ отсчетов, рассчитывающуюся по методике, изложенной в [5]. В качестве алгоритма адаптации канальных АЦФ будем использовать рекурсивный метод наименьших квадратов с преобразованием Хаусхолдера (X-РНК), описанный в таблице 1.

Таблица 1 – Алгоритм X-РНК

Инициализация:

$$\mathbf{w}(-1) = \mathbf{0}, A^{-T}(-1) = \frac{1}{\delta \cdot \lambda^N} \cdot \text{diag}[1, \lambda, \dots, \lambda^{N-1}]$$

$$\delta > 0$$

Вычисления:

$$\mathbf{k}(n) = \lambda^{-1/2} \cdot \mathbf{A}^{-T}(n-1) \cdot \mathbf{x}(n)$$

$$\alpha(n) = \sqrt{1 + \mathbf{k}^T(n) \cdot \mathbf{k}(n)}$$

$$\beta(n) = \frac{1}{\alpha(n) \cdot (1 + \alpha(n))}$$

$$\tilde{\mathbf{h}}(n) = \mathbf{A}^{-1}(n-1) \cdot \mathbf{k}(n)$$

$$\hat{\mathbf{h}}(n) = \lambda^{-1/2} \cdot \beta(n) \cdot \tilde{\mathbf{h}}(n)$$

$$\mathbf{A}^{-T}(n) = \lambda^{-1/2} \cdot \mathbf{A}^{-T}(n-1) - \mathbf{k}(n) \cdot \hat{\mathbf{h}}^T(n)$$

$$e(n) = y(n) - \mathbf{x}^T(n) \cdot \mathbf{w}(n-1)$$

$$\mathbf{w}(n) = \mathbf{w}(n-1) + \frac{e(n)}{\lambda^{1/2} \cdot \alpha^2(n)} \cdot \tilde{\mathbf{h}}(n)$$

$\mathbf{x}(n)$ – вектор отсчетов входного сигнала

$y(n)$ – обучающий сигнал

$e(n)$ – ошибка обучения

$\mathbf{w}(n)$ – вектор коэффициентов АЦФ порядка N

λ – коэффициент забывания

Порядок канального АЦФ выбирается с учетом значения M_i , т.е. $N_{SB_i} = N / M_i$. При этом исследуется зависимость относительного уровня подавления эхо-сигнала ERLE (Echo Return Loss Enhancement)= $10 \cdot \lg[\varepsilon(y^2(n))/\varepsilon(e^2(n))]$ от способа разбиения на субполосы (типа используе-

мого БФ_{НМ}). В данном выражении $\varepsilon(*)$ означает оператор математического ожидания.

Результаты проведенных экспериментов показывают, что наибольшее подавление получается при использовании 6-БФ_{НМ}^{ВЧ}, логарифмическая АЧХ (ЛАЧХ) которого изображена на рисунке 1, а средний уровень ERLE приведен в таблице 2. Это доказывает выдвинтое выше предположение о способе субполосного разбиения при построении МАЭК на основе БФ_{НМ} с неравномерным разбиением на К:

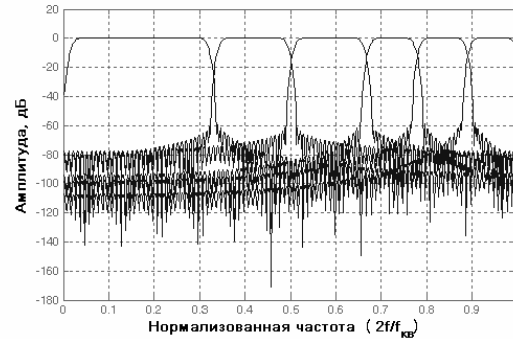


Рисунок 1 – ЛАЧХ 6-БФ_{НМ}^{ВЧ}

Таблица 2 – Результаты экспериментов

Тип БФ _{НМ}	Средний уровень ERLE, дБ
6-БФ _{НМ} ^{НЧ}	31,13
6-БФ _{НМ} ^{СЧ}	26,33
6-БФ _{НМ} ^{ВЧ}	47,54

Рассмотрим, каким образом можно добиться эффективной реализации МАЭК на основе БФ_{НМ} с предложенным выше способом разбиения на субполосы.

Применение алгоритмов адаптации с вычислительной сложностью $O(N^2)$ дает высокие показатели по скорости и точности настройки, однако требует значительного объема производимых вычислений. Использование аппарата БФ предоставляет возможность снизить вычислительные затраты без значительных потерь в качестве работы МАЭК. Основываясь на работе [6], где были рассмотрены преимущества использования комбинированного алгоритма адаптации для решения проблемы декорреляции левого и правого каналов в задаче стереофонической эхо-компенсации. При этом в работе [6] не анализировалась возможность применения БФ_{НМ} с неравномерным разбиением на субполосы и не проводились исследования, касающиеся выбора конкретного способа субполосного разбиения, позволяющего достичь высокого уровня подавления эхо-сигнала для БФ_{НМ} с одинаковой сложностью.

Предлагаемый подход состоит в том, чтобы использовать быстрый и точный алгоритм (как, например, X-РНК) в рамках первого субполосного канала, что обеспечит качественное подавление составляющих эхосигнала, имеющих наибольшую энергию, а в остальных каналах использовать более «легкий» в вычислительном плане алгоритм, например, метод наименьших квадратов с нормализацией по мощности (НМ-МНК), отрабатывающий подавление компонент в остальных субполосных каналах. Эффект от применения комбинированного алгоритма адаптации в МАЭК

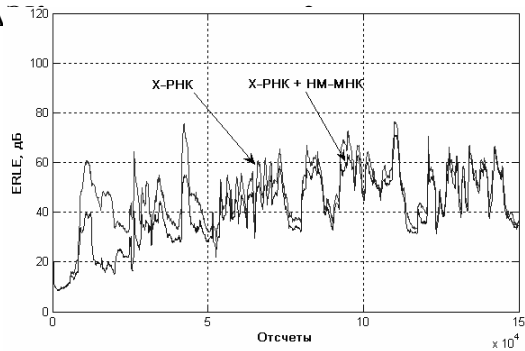


Рисунок 2 – Результаты работы МАЭК на базе 6-БФ_{HM}^{ВЧ} и комбинированного алгоритма адаптации X-РНК + НМ-МНК

Из анализа рисунка 2 следует, что предложенный подход почти не уступает в достигаемой точности настройки слушаю, когда во всех субполосных каналах используется алгоритм X-РНК. Для случая X-РНК средний уровень ERLE составляет 47,54 dB (см. таблицу 2), а для X-РНК + НМ-МНК – 40,37 dB. То есть разница в уровне подавления составляет примерно 7 dB, и при ~~Кромка достигнутый уровень снижения~~ важным показателем эффективности работы МАЭК являются вычислительные затраты. Вычислительные затраты на реализацию МАЭК на основе алгоритма X-РНК рассчитываются по формуле [1]:

$$3 \cdot N_{\pi} \cdot k + \sum_{i=0}^{L-1} 7 \cdot \left(N_{SB_i} / M_i \right)^2 + 3 \cdot \left(N_{SB_i} / M_i \right),$$

где N_{π} и k – порядок и число фильтров-прототипов, на базе которых строится БФ_{HM}, а L – число субполосных каналов. Для используемого 6-БФ_{HM}^{ВЧ} они составляют $1,0692 \times 10^6$ операций умножений с накоплением. Затраты на реализацию МАЭК на основе НМ-МНК вычисляются по следующей формуле [1]:

$$3 \cdot N_{\pi} \cdot k + \sum_{i=0}^{L-1} 2 \cdot \left(N_{SB_i} / M_i \right) + 2. С учетом этого расчетное значение вычислительных затрат для$$

комбинированного алгоритма X-РНК + НМ-МНК равно $6,3489 \times 10^5$ операций умножений с накоплением. Таким образом, достигается экономия вычислительных затрат, равная приблизительно 40 %. Разработанный метод с использованием комбинированного алгоритма адаптации также может быть экстраполирован и на другие сочетания различных алгоритмов адаптации.

Заключение. Применение БФ_{HM} с неравномерным разбиением на субполосы для реализации МАЭК открывает новые возможности для достижения высоких показателей эффективности. Эксперименты показали, что для получения высокого уровня подавления акустического эхосигнала нужно, чтобы первый канал МАЭК на основе БФ_{HM} охватывал область до 0,3 – 0,4 в нормализованной частоте. На основе данного способа разбиения на субполосы был предложен комбинированный алгоритм адаптации X-РНК + НМ-МНК, который позволяет снизить вычислительные затраты на реализацию МАЭК без существенного снижения качества его работы. Предложенный метод с использованием комбинированного алгоритма адаптации также может быть экстраполирован и на другие сочетания алгоритмов адаптации.

Библиографический список

1. Кузнецов Е.П. Эффективность использования многоскоростной обработки сигналов в задаче акустической эхо-компенсации // Информационно-измерительные и управляемые системы. 2008. № 1. С. 27 - 34.
2. Кузнецов Е.П., Витязев В.В. Цифровая обработка сигналов в задачах эхо-компенсации: тематический обзор (часть 2) // Цифровая обработка сигналов. 2006. № 4. С. 20 - 28.
3. A. Gilloire, M. Vetterli. Adaptive filtering in subbands with critical sampling: Analysis, experiments and application to acoustic echo cancellation // IEEE Trans. Signal Processing, vol. 40, PP. 1862 - 1875, Aug. 1992.
4. Bregovic R., Dumitrescu B., Saramaki T., Niemisto R. A Kaiser Window Approach for Designing Nonuniform Oversampled M-Channel Filterbanks // Proc. of 2006 International TICSP Workshop on Spectral Methods and Multirate Signal Processing, SMMSP2006, Tampere, Sept. 2006. pp. 15 - 21.
5. Allen J., Berkley D. Image method for efficiently simulating small-room acoustics. Journal of the Acoustical Society of America, 65(4):943-950, April 1979.
6. Eneroeth P., Gay S., Gänsler T., Benesty J. A Hybrid FRLS/NLMS Stereo Acoustic Echo Cancellation // Proc. of IWAENC, Pocono Manor, USA, 1999.

